

PROCESSO SELETIVO – 06/2025

Área de Conhecimento: Engenharia Mecânica

PROVA ESCRITA – PADRÃO DE RESPOSTA

QUESTÃO 1: _____

Capítulo 5 – Trabalho e energia dos fluidos em movimento 229

EXEMPLO 5.10

A turbina na Figura 5.24 é usada em uma pequena usina hidrelétrica, junto com um tubo com diâmetro de 0,3 m. Se a descarga em B for de 1,7 m³/s, determine a quantidade de potência que é transferida da água para as pás da turbina. A perda de carga por cisalhamento através do tubo e da turbina é de 4 m.

Solução

Descrição do fluido

Esse é um caso de escoamento em regime permanente. Aqui, as perdas por cisalhamento viscoso ocorrem dentro do fluido. Consideraremos que a água é incompressível, onde $\gamma_{água} = 9810 \text{ N/m}^3$.

Volume de controle

Uma parte do reservatório, junto com a água dentro do tubo, é selecionada para ser o volume de controle fixo. A velocidade média em B pode ser determinada a partir da descarga.

$$Q = V_B A_B;$$

$$1,7 \text{ m}^3/\text{s} = V_B [\pi (0,15 \text{ m})^2]$$

$$V_B = 24,05 \text{ m/s}$$

Equação da energia

Por conveniência, as medidas verticais z até o datum são feitas a partir da *linha de centro* do tubo.*

Aplicando a equação da energia entre A (entrada) e B (saída), com o datum gravitacional definido em B, temos

$$\frac{p_A}{\gamma} + \frac{V_A^2}{2g} + z_A + h_{bomba} = \frac{p_B}{\gamma} + \frac{V_B^2}{2g} + z_B + h_{turb} + h_L$$

$$0 + 0 + 60 \text{ m} + 0 = 0 + \frac{(24,05 \text{ m/s})^2}{2(9,81 \text{ m/s}^2)} + 0 + h_{turb} + 4 \text{ m}$$

$$h_{turb} = 26,52 \text{ m}$$

Conforme esperado, o resultado é positivo, indicando que a energia é fornecida pela água (sistema) para a turbina.

Potência

Usando a Equação 5.16, a potência transferida para a turbina é, portanto,

$$\dot{W}_s = Q \gamma_{água} hs = (1,7 \text{ m}^3/\text{s})(9810 \text{ N/m}^3)(26,52 \text{ m})$$

$$= 442 \text{ kW}$$

Resposta

Observe que a potência *perdida* devido aos efeitos do cisalhamento é

$$\dot{W}_L = Q \gamma_{água} h_L = (1,7 \text{ m}^3/\text{s})(9810 \text{ N/m}^3)(4 \text{ m}) = 66,7 \text{ kW}$$

Como um ponto de interesse, a seção do tubo que transfere a água do reservatório para a turbina é chamada de *conduto*.

* Como a carga piezométrica $H = p/\gamma + z$ é constante sobre a seção transversal do segmento horizontal do tubo, a medição até qualquer ponto na seção transversal pode ser considerada. Veja o Exemplo 5.11.

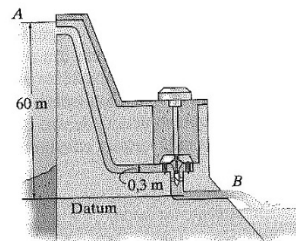


FIGURA 5.24

QUESTÃO 2: _____

Exemplo 6.3

Determine a força em cada membro da treliça mostrada na Figura 6.10a. Indique se os membros estão sob tração ou compressão.

SOLUÇÃO

Reações de apoios

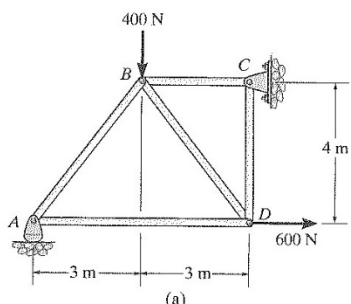
Nenhum nó pode ser analisado até que as reações dos apoios sejam determinadas, já que cada nó sofre a ação de mais de três forças desconhecidas atuando sobre ele. Um diagrama de corpo livre de toda a treliça é fornecido na Figura 6.10b. Aplicando as equações de equilíbrio, temos:

$$\begin{aligned} \sum F_x &= 0; & 600 \text{ N} - C_x &= 0 & C_x &= 600 \text{ N} \\ +\sum M_C &= 0; & -A_y(6 \text{ m}) + 400 \text{ N}(3 \text{ m}) + 600 \text{ N}(4 \text{ m}) &= 0 & A_y &= 600 \text{ N} \\ +\sum F_y &= 0; & 600 \text{ N} - 400 \text{ N} - C_y &= 0 & C_y &= 200 \text{ N} \end{aligned}$$

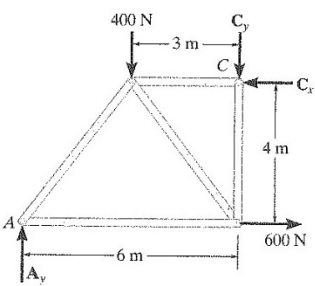
A análise agora pode começar no nó A ou no C. A escolha é arbitrária, pois existe uma força de membro conhecida e duas incógnitas atuando no pinho em cada um desses nós.

No A

(Figura 6.10c) Como mostra o diagrama de corpo livre, F_{AB} é considerada de compressão e F_{AD} , de tração. Aplicando as equações de equilíbrio, temos:



(a)



(b)

FIGURA 6.10

$$+\uparrow \sum F_y = 0; \quad 600 N - \frac{4}{5}F_{AB} = 0 \quad F_{AB} = 750 N \quad (C)$$

$$\pm \sum F_x = 0; \quad F_{AD} - \frac{3}{5}(750 N) = 0 \quad F_{AD} = 450 N \quad (T)$$

Resposta
Resposta

Nó D

(Figura 6.10d) Usando o resultado para F_{AD} e somando as forças na direção horizontal, temos:

$$\pm \sum F_x = 0; \quad -450 N + \frac{3}{5}F_{DB} + 600 N = 0 \quad F_{DB} = -250 N$$

Resposta
O sinal negativo indica que \mathbf{F}_{DB} atua no sentido oposto ao mostrado na Figura 6.10d.* Logo,

$$F_{DB} = 250 N \quad (T)$$

Resposta

Nó C

(Figura 6.10e)

$$\pm \sum F_x = 0; \quad F_{CB} - 600 N = 0 \quad F_{CB} = 600 N \quad (C)$$

$$+\uparrow \sum F_y = 0; \quad 200 N - 200 N = 0 \quad (\text{verificado})$$

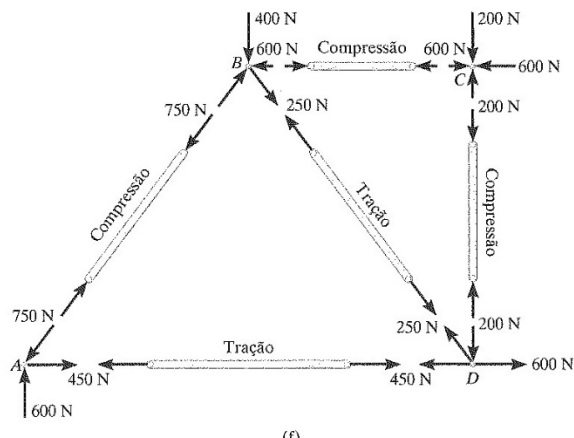
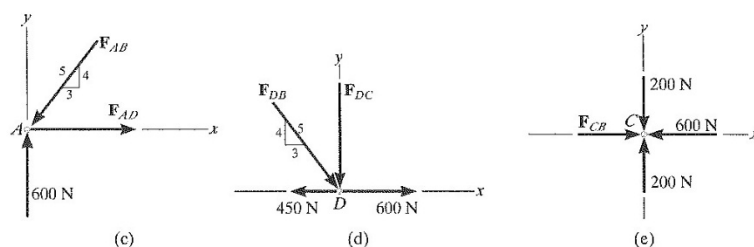
Resposta
NOTA: a análise é resumida na Figura 6.10f, que mostra o diagrama de corpo livre para cada nó e membro.

FIGURA 6.10 (cont.)

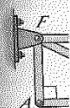
* O sentido correto poderia ter sido determinado por observação, antes de aplicar $\sum F_x = 0$.

6.3 Mecânica dos Materiais

A análise de estruturas deve levar em conta cada se pode suportar o carregamento, e também a estabilidade. Essas considerações adicionais se aplicam a estruturas rígidas.

Em geral, é mais fácil analisar estruturas por observação. No entanto, a estrutura na Figura 6.10f não é estável no nó A (Figura 6.10g). A força resultante é zero. (Não é necessário desenhar os diagramas de corpo livre para os nós A, B, C e D, porque os resultados obtidos para os nós C e D são mesmo os mesmos que os resultados para os nós A e B, respectivamente.)

Agora, vamos analisar o diagrama de corpo livre do sistema completo. O comprimento dos membros é ignorado. Pode-se ver que DA é um membro de tração, para o menor custo estrutural. Da mesma forma, C é um nó de apoio terceiro, que suporta a estrutura.



$$+\downarrow \sum F_y = 0$$

$$+\leftarrow \sum F_x = 0$$

QUESTÃO 3: _____

EXEMPLO 9.9

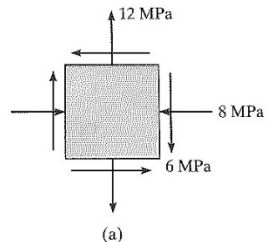
O estado plano de tensão em um ponto é mostrado no elemento na Figura 9.20(a). Represente este estado de tensão em um elemento orientado a 30° em sentido anti-horário em relação à posição mostrada na figura.

SOLUÇÃO

Construção do círculo. Pelos dados do problema,

$$\sigma_x = -8 \text{ MPa} \quad \sigma_y = 12 \text{ MPa} \quad \tau_{xy} = -6 \text{ MPa}$$

Os eixos σ e τ estão definidos na Figura 9.20(b). O centro do círculo C está localizado sobre o eixo σ em



$$\sigma_{\text{méd}} = \frac{-8 + 12}{2} = 2 \text{ MPa}$$

O ponto de referência para $\theta = 0^\circ$ tem coordenadas $A(-8, -6)$. Daí, do triângulo sombreado, o raio CA é

$$R = \sqrt{(10)^2 + (6)^2} = 11,66 \text{ MPa}$$

Tensões no elemento a 30° . Como o elemento deve sofrer rotação de 30° em sentido anti-horário, devemos traçar uma linha radial CP , $2(30^\circ) = 60^\circ$ no sentido anti-horário, medida em relação a $CA(\theta = 0^\circ)$ [Figura 9.20(b)]. Agora, devemos obter as coordenadas do ponto $P(\sigma_{x'}, \tau_{x'y'})$. Pela geometria do círculo,

$$\phi = \tan^{-1} \frac{6}{10} = 30,96^\circ \quad \psi = 60^\circ - 30,96^\circ = 29,04^\circ$$

$$\sigma_{x'} = 2 - 11,66 \cos 29,04^\circ = -8,20 \text{ MPa}$$

Resposta

$$\tau_{x'y'} = 11,66 \sin 29,04^\circ = 5,66 \text{ MPa}$$

Resposta

Essas duas componentes de tensão agem na face BD do elemento mostrado na Figura 9.20(c), uma vez que o eixo x' para esta face está orientado a 30° em sentido anti-horário em relação ao eixo x .

As componentes da tensão que agem na face adjacente DE do elemento, que está a 60° em sentido horário em relação ao eixo x positivo [Figura 9.20(c)], são representadas pelas coordenadas do ponto Q no círculo. Este ponto encontra-se na linha radial CQ , que está 180° em relação a CP . As coordenadas do ponto Q são

$$\sigma_{x'} = 2 + 11,66 \cos 29,04^\circ = 12,2 \text{ MPa}$$

Resposta

$$\tau_{x'y'} = -(11,66 \sin 29,04^\circ) = -5,66 \text{ MPa}$$

Resposta

Observação: Aqui, $\tau_{x'y'}$ age na direção $-y'$.

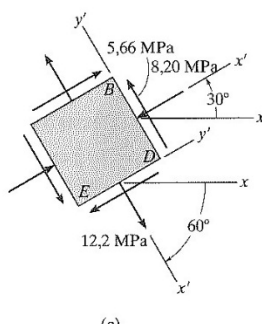
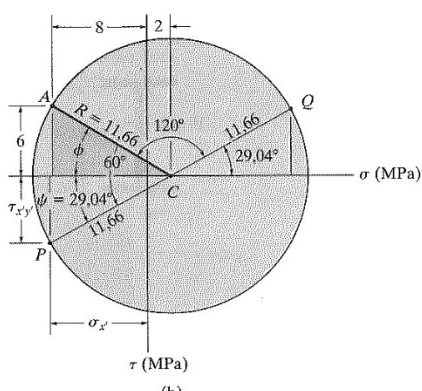


FIGURA 9.20

QUESTÃO 4:

O raio crítico de isolamento é o raio da superfície externa da camada de isolante correspondente à espessura que maximiza o fluxo de calor. Assim, tem-se a seguinte significação: mantidas constantes as outras condições do problema, se o raio externo r_e for menor que o raio crítico de isolamento r_{ec} , um acréscimo na espessura da camada de isolante aumentará o fluxo de calor até que o raio externo r_e seja igual a r_{ec} ; e se o raio externo r_e for maior que o raio crítico r_{ec} , qualquer aumento na espessura do isolante diminuirá o fluxo de calor que passa do duto para o ar ambiente.

EXEMPLO 8.3

Um duto cilíndrico com raio externo $r_1 = 2$ cm com sua superfície à temperatura $T_1 = 120^\circ\text{C}$, constante, cede calor para o ar ambiente, que mantém temperatura $T_\infty = 25^\circ\text{C}$, constante, com coeficiente de transferência de calor por convecção $h = 4 \frac{\text{W}}{\text{m}^2 \cdot ^\circ\text{C}}$. Para reduzir a perda de calor, reveste-se o duto com uma camada cilíndrica de isolante com condutividade térmica $k_i = 0,15 \frac{\text{W}}{\text{m} \cdot ^\circ\text{C}}$. Considerando um contato térmico perfeito entre o duto e o isolante, determine:

- o raio crítico de isolamento;
- o fluxo de calor perdido para o ar ambiente, por comprimento unitário do duto, para os casos de:
 - duto sem isolamento;
 - duto revestido com uma camada de isolante de raio externo igual ao raio crítico r_{ec} ; e
 - duto revestido com uma camada de isolante de raio externo $r_e = 3 r_{ec}$.

Têm-se os seguintes dados:

$$r_1 = 0,02 \text{ m}$$

$$T_1 = 120^\circ\text{C}$$

$$T_\infty = 25^\circ\text{C}$$

$$h = 4 \frac{\text{W}}{\text{m}^2 \cdot ^\circ\text{C}}$$

$$k_i = 0,15 \frac{\text{W}}{\text{m} \cdot ^\circ\text{C}}$$

a) Cálculo do raio crítico de isolamento r_{ec} :

$$r_{ec} = \frac{k_i}{h} = 0,038 \text{ m} = 3,8 \text{ cm}$$

b-1) Determinação do fluxo de calor, por comprimento unitário do duto, para o caso sem isolamento:

Ocorre convecção entre a superfície externa do duto e o ar ambiente, de forma que, com a aplicação da lei de Newton para o resfriamento, obtém-se

$$\left. \frac{\dot{Q}_r}{L} \right|_{si} = 2\pi r_1 h (T_1 - T_\infty) = 47,8 \frac{\text{W}}{\text{m}}$$

b-2) Determinação do fluxo de calor perdido para o ar ambiente, por comprimento unitário do duto, para o caso com camada de isolante de raio externo igual ao raio crítico r_{ec} :

Considerando a transferência de calor com mecanismo combinado de condução através do isolante e de convecção do isolante para o ar ambiente, tem-se

$$\left. \frac{\dot{Q}_r}{L} \right|_{r_e = r_{ec}} = \frac{T_1 - T_\infty}{\frac{\ln(r_e/r_1)}{2\pi k_i} + \frac{1}{2\pi r_{ec} h}} = 55 \frac{\text{W}}{\text{m}}$$

Observe que o fluxo de calor nessa situação com camada de isolante de raio externo igual ao raio crítico de isolamento é maior do que no caso do duto sem revestimento.

b-3) Determinação do fluxo de calor, por comprimento unitário, para o caso do duto revestido com uma camada de isolante de raio externo $r_e = 3r_{ec}$:

Considerando o mecanismo combinado de condução através do isolante e de convecção do isolante para o ar ambiente, tem-se

$$\left. \frac{\dot{Q}_r}{L} \right|_{r_e = 3r_{ec}} = \frac{T_i - T_\infty}{\frac{\ln \left(\frac{3r_{ec}}{r_i} \right)}{2\pi k_i} + \frac{1}{2\pi (3r_{ec}) h}} = 43,2 \text{ W/m}$$

Observe que com essa espessura de isolamento o fluxo de calor perdido para o ar ambiente é menor do que nos dois casos anteriores.

Membros da Banca:

**Avaliador 1 (Fernando Humel Lafratta)
Canhoto Alves)**

Avaliador 2 (Marcus Vinícius

Presidente da Banca (Renato Pontes Rodrigues)



Assinaturas do documento



Código para verificação: **0MY3YQ23**

Este documento foi assinado digitalmente pelos seguintes signatários nas datas indicadas:

 **RENATO PONTES RODRIGUES** (CPF: 080.XXX.916-XX) em 24/11/2025 às 13:11:03

Emitido por: "SGP-e", emitido em 24/04/2023 - 18:28:02 e válido até 24/04/2123 - 18:28:02.

(Assinatura do sistema)

 **FERNANDO HUMEL LAFRATTA** (CPF: 769.XXX.127-XX) em 24/11/2025 às 15:13:47

Emitido por: "SGP-e", emitido em 30/03/2018 - 12:40:38 e válido até 30/03/2118 - 12:40:38.

(Assinatura do sistema)

Para verificar a autenticidade desta cópia, acesse o link <https://portal.sgpe.sea.sc.gov.br/portal-externo/conferencia-documento/VURFU0NfMTIwMjJfMDAwNDY0MzJfNDY0NjNfMjAyNV8wTVkzWVEyMw==> ou o site

<https://portal.sgpe.sea.sc.gov.br/portal-externo> e informe o processo **UDESC 00046432/2025** e o código

0MY3YQ23 ou aponte a câmera para o QR Code presente nesta página para realizar a conferência.